

Los restos humanos de la Coveta Emparetà: Contexto cronológico y cultural

PABLO GARCÍA BORJA*; DOMINGO C. SALAZAR-GARCÍA**;
ISABEL COLLADO BENEYTO***; EMILIO CORTELL PÉREZ****

La Coveta Emparetà es un yacimiento arqueológico conocido desde principios del siglo XX. Los restos de cultura material recuperados en su interior han permitido establecer ocupaciones del Neolítico antiguo y Neolítico medio, proponiéndose también ocupaciones en momentos posteriores. Además, se localizó un conjunto de huesos humanos cuya adscripción cronológica se desconocía, de los que se presenta un estudio y los resultados de dos dataciones radiocarbónicas realizadas directamente sobre los mismos, evidenciándose el uso de la Coveta Emparetà como espacio para la deposición de inhumaciones en la Edad del Bronce.

Palabras clave: Neolítico; Edad del Bronce; Antropología física; dataciones radiocarbónicas; Valleta d'Agres.

La Coveta Emparetà és un jaciment arqueològic conegut des de començament del segle XX. Les restes de cultura material recuperades al seu interior han permès establir ocupacions del Neolític antic i Neolític mitjà, i s'han proposat també ocupacions en moments posteriors. A més, s'hi va localitzar un conjunt d'ossos humans l'adscripció cronològica dels quals es desconeixia, dels quals s'hi presenta un estudi i els resultats de dues datacions radiocarbòniques realitzades directament sobre aquests. Això ha evidenciat l'ús de la Coveta Emparetà com a espai per a la deposició d'inhumacions en l'Edat del Bronze.

Paraules clau: Neolític; Edat del Bronze; Antropologia física; datacions radiocarbòniques; Valleta d'Agres.

The human remains of the Coveta Emparetà: Chronological and cultural context

The Coveta Emparetà is an archaeological site known since the beginning of the 20th century. The material culture recovered from inside this cave gives evidence of Early and Middle Neolithic occupations, as well as later ones. A set of human remains whose chronological attribution was unknown until now was also found at the site. Herein we present both the physical anthropological study of these remains as well as the result of two radiocarbon dating checks effected directly on the same. Both of them being a piece of evidence in the sense that the Coveta Emparetà was used as a funerary space during the Bronze Age.

Key words: Neolithic; Bronze Age; Physical Anthropology; Radiocarbon dating checks; Valleta d'Agres.

INTRODUCCIÓN

Explorada por Camil Visedo Moltó en la década de 1920 y excavada por María Dolores Asquerino Fernández en la década de 1970, en el interior de la Coveta Emparetà se han localizado varios lotes de materiales arqueológicos, en la actualidad depositados en el Museu Arqueològic Municipal d'Alcoi Camil Visedo Moltó y en el Museu Arqueològic Municipal de Bocairant Vicent Casanova. Con motivo de la revisión de las cerámicas de la Cova de la Sarsa, por uno de

nosotros, se localizaron buena parte de los restos arqueológicos recuperados por Asquerino en la Coveta Emparetà depositados en Bocairant, añadiéndose ahora un tercer lote compuesto únicamente por huesos humanos bajo la sigla Caseta Molina. La localización de estos materiales y el acceso a los diarios de excavación y material fotográfico de la campaña de Asquerino, gracias a la donación realizada por su familia al Museo Histórico de Priego de Córdoba, nos animó a iniciar una nueva revisión, centrando nuestra atención en los restos humanos. El objetivo principal era el de obtener una visión más detallada de todo el conjunto y dotarlo de un marco cronológico más definido, para lo que se han realizado dos dataciones radiocarbónicas. De hecho, una de las cuestiones que plantea la Coveta Emparetà desde su descubrimiento, es si la existencia de varios enterramientos en su parte más profunda puede ser relacionada con un espacio de necrópolis del Neolítico antiguo, Neolítico medio o Neolítico final.

LA COVETA EMPARETÀ

Se encuentra situada en la vertiente norte de la Serra de Mariola, a media ladera del Salt d'Alcoi, a unos 500 m de

* Universidad Nacional de Educación a Distancia-Valencia
paucanals@hotmail.com

** Department of Archaeology, University of Cape Town; Departament de Prehistòria i Arqueologia, Universitat de València; Science of Human History; Department of Human Evolution, Max-Planck; Institute for Evolutionary Anthropology
domingocarlos.salazar@uv.es

*** Museu Arqueològic Municipal de Bocairant Vicent Casanova
isabel.collado@hotmail.com

**** Museu Arqueològic Municipal Camil Visedo Moltó
ecortell@alcoi.org

Recibido: 20-01-2016. Aceptado: 15-03-2016.

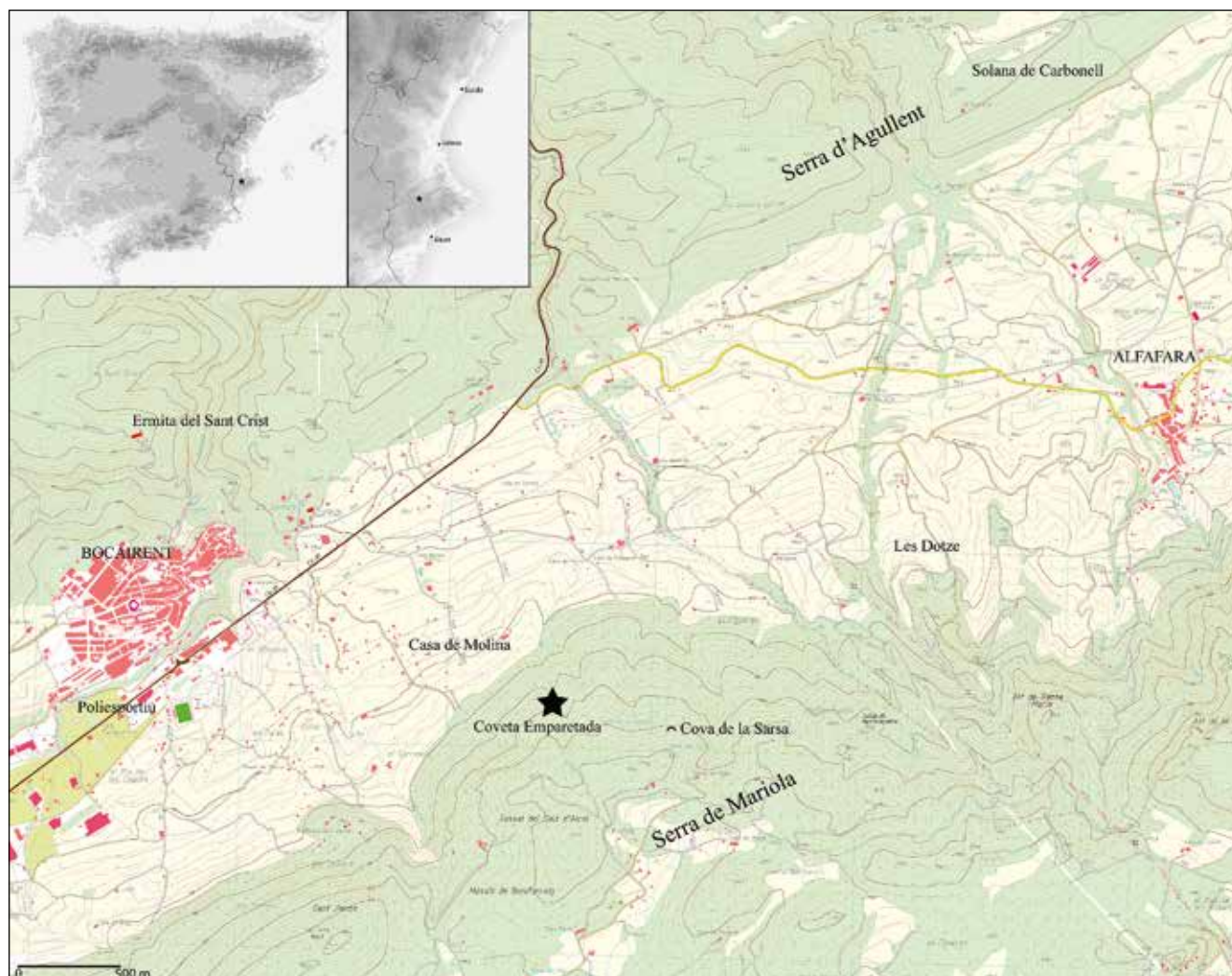


Figura 1. Localización geográfica de la Coveta Emparetà sobre Cartogràfic Valencià.

la Cova de la Sarsa y a 3.000 m del municipio de Bocairent, dentro de su término municipal (fig. 1). Su boca de entrada mide más de 7 m de anchura y 3 m de altura (fig. 2), orientada al oeste, dominando la Valleta d'Agres-Bocairent. Su planta es algo irregular, de 9 m de longitud y unos 2,5 m de anchura. Parte de su visera se encuentra desprendida, por lo que en origen podría haber formado un espacio de transición al interior de la cavidad.

La primera referencia a la cueva como yacimiento arqueológico data de 1925, coincidiendo con la publicación de algunos hallazgos relevantes encontrados en las localidades próximas a Alcoi por parte de Camil Visedo (1925). En aquellos momentos iniciales de su historia de la investigación la cueva era conocida como Caseta Molina, pues se ubica en las inmediaciones de una casa homónima, por aquel entonces propiedad de un familiar de Visedo, razón por la cual conocía de su existencia. La cueva había sido expoliada, por lo que en su superficie se encontraban restos

arqueológicos que el propio Visedo recogió y que forman el conjunto depositado en el museo de Alcoi.

El material recuperado en la Coveta Emparetà constituye la primera referencia a la presencia de cerámicas con decoración impresa cardial en el País Valenciano, hecho que llevaría a Isidro Ballester (1928) a incorporarla en sus reflexiones sobre los conjuntos cerámicos valencianos que poseen cerámicas decoradas con concha conocidos hasta la fecha. También San Valero (1942) incluirá al yacimiento en sus reflexiones sobre el Neolítico mediterráneo con motivo del estudio de los materiales de la cercana Cova de la Sarsa. En 1970 es objeto de una intervención bajo la dirección de María Dolores Asquerino, que decide sondear el yacimiento tras revisar los conjuntos depositados en Alcoi, denominándolo a partir de entonces Coveta Emparetà. La excavación continuó en la primavera de 1971, no existiendo referencias de más excavaciones en su interior (Asquerino, 1975).

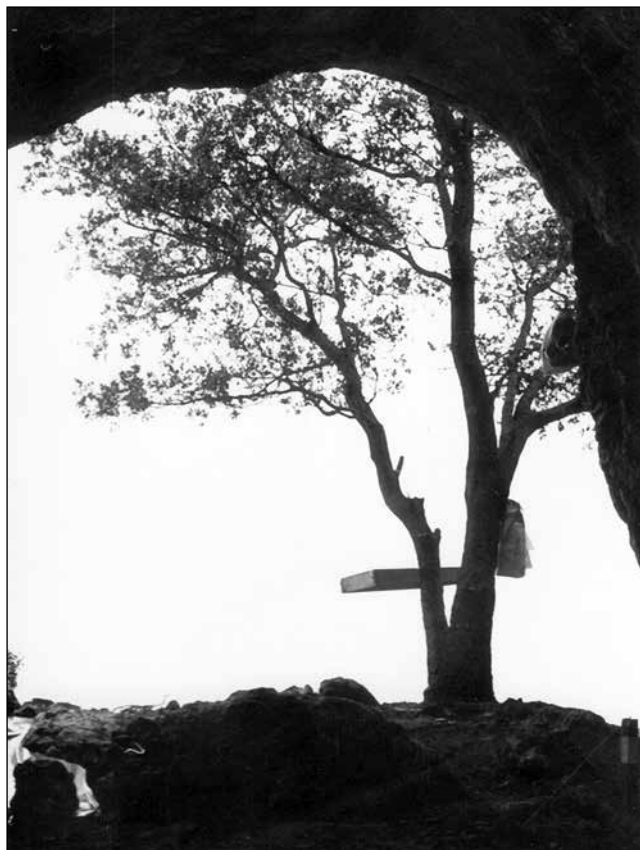


Figura 2. Boca de entrada de la Coveta Emparetà en 1970 (legado M.D. Asquerino al Museo Histórico de Priego de Córdoba).

MATERIALES ARQUEOLÓGICOS

El conjunto de restos arqueológicos de la Coveta Emparetà se compone de varios lotes. Únicamente uno de ellos posee referencia estratigráfica, el recuperado por Asquerino en sus excavaciones. Esta intervención consistió en la realización de dos sondeos arqueológicos, uno en la entrada o “Área Exterior” y otro en la parte interna de la cavidad o “Área Interior” (fig. 3). El primero se realizó en la entrada, mide 1,5 x 1,5 m de extensión y una profundidad máxima de 1,3 m. Se diferenciaron varios niveles: un nivel superficial de 40 cm de potencia máxima con abundantes piedras y escaso material arqueológico; un primer nivel (N.I) de 30 cm de potencia máxima formado por limos de tonos claros y abundante material arqueológico; un segundo nivel (N.II) de 55 cm de potencia máxima formado por limos de tonos oscuros con abundantes piedras de fracción pequeña en el que seguían apareciendo materiales arqueológicos; finalmente, un tercer nivel (N.III) de color siena natural carente de material arqueológico.

El segundo sondeo arqueológico se realizó en la parte más profunda de la cavidad (fig. 4). Sus medidas iniciales eran 3,60 x 2,90 m, llegándose a una profundidad de 1 m. Se

diferenció un nivel superficial de 15 cm de potencia máxima y color pardo, con abundantes piedras y material arqueológico; un primer nivel (N.I) de 38 cm de potencia máxima formado por limos de tonos pardos y abundante material arqueológico; un segundo y último nivel (N.II) de 60 cm de potencia máxima, formado por limos de tonos pardos y abundantes piedras de diferente tamaño y escaso material arqueológico.

Los restos arqueológicos recuperados en estas intervenciones se encuentran depositados en el Museu Arqueològic Municipal de Bocairent. Además de estos materiales con referencia estratigráfica, existen otros que han sido depositados en el museo por aficionados y también un lote de huesos humanos de los que no se tenía conocimiento, etiquetados con la sigla “Caseta Molina”. Asquerino no los menciona en su publicación, por lo que cabe suponer que fueron depositados con posterioridad a 1970. La presencia en el etiquetado de referencias a unidades estratigráficas en cada bolsa (UE 321 y UE 322), nos generó ciertas dudas sobre su posible origen, pues podrían ser restos localizados en las inmediaciones de la Caseta Molina y no de la Coveta Emparetà, desconociéndose la razón por la que se depositan en Bocairent. En todo caso, se ha decidido estudiar los restos e incorporarlos al estudio para su valoración.

El lote depositado en Alcoi se relaciona con las visitas de Visedo a la cavidad. No poseen referencia estratigráfica ni localización precisa en el yacimiento, aunque posiblemente fueron recuperados en la zona interna. La propia Asquerino (1975) comenta, tras las visitas previas a la intervención arqueológica, que al fondo de la cavidad se encontraba “una especie de escalón, a mayor altura del nivel del suelo, de 0,65 m de ancho y 2,75 m de largo, con una altura media de 0,20 m y que atribuimos a la excavación realizada por Visedo”.

Además de los restos humanos y los de fauna que Asquerino menciona, cabe destacar la presencia de un conjunto de piezas de cerámica (fig. 5 y 6) y sílex que permiten realizar una propuesta inicial de la cronología y funcionalidad del yacimiento. La ordenación de los restos cerámicos conocidos a partir de su técnica decorativa (tabla 1) muestra cierta heterogeneidad, relacionada con la existencia de diferentes momentos de ocupación en la cavidad. Entre los más de 215 fragmentos, destaca la elevada presencia porcentual de los decorados con la técnica de la impresión cardial. Están bien representados los cordones lisos, siendo poco frecuentes las incisiones y las impresiones realizadas con instrumentos. Destaca la presencia de un fragmento esgrafiado y varios peinados, descritos como impresiones de esparto por Asquerino. Son técnicas que permiten establecer ocupaciones en el Neolítico antiguo y medio, en paralelo a las que se documentan en la cercana Cova de la Sarsa. Existen además varios lotes de cerámicas lisas sin decoración, cuya morfología y tecnología encuentran sus mejores paralelos en el Neolítico final-Calcolítico y la Edad del Bronce.

El número total de piezas de sílex recuperados en la cavidad asciende a 339 (tabla 2). El conjunto posee un impor-

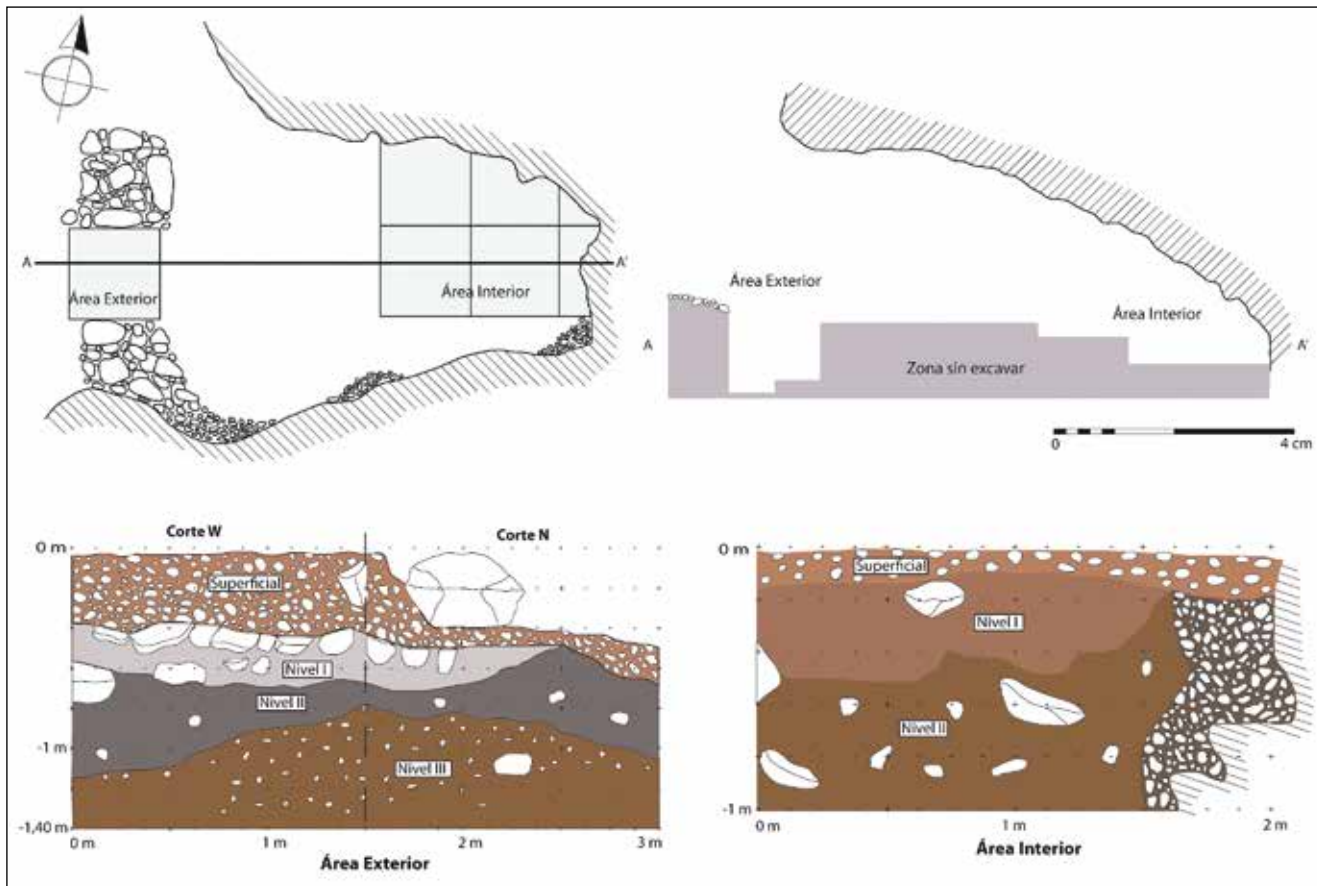


Figura 3. Planta, sección y cortes de los soneos realizados en la Coveta Emparetà. A partir de Asquerino (1975).



Figura 4. María Dolores Asquerino observando el “Área Interior” de la Coveta Emparetà en el transcurso de las excavaciones (legado M.D. Asquerino al Museo Histórico de Priego de Córdoba).

tante componente laminar, con abundantes restos de talla, que Asquerino interpreta en relación a la existencia de un espacio destinado a esta actividad. La mayoría de las piezas podrían encuadrarse en el Neolítico antiguo, con especial

significación de hojas y hojitas retocadas, trapecios, un taladro y/o un perforador. Destaca la ausencia de grandes hojas de sílex y de puntas de flecha, hecho que ha permitido proponer que las inhumaciones de la cavidad podrían pertenecer a momentos del Neolítico antiguo o medio (Bernabeu *et alii*, 2001).

Otros restos a destacar son varios fragmentos de molino, un machacador con evidencias de haberse utilizado para el molturado de colorante rojo, un posible alisador, un fragmento de espátula de hueso y dos cuentas de collar circulares.

ANÁLISIS DE LOS RESTOS HUMANOS

La finalidad principal del estudio de los restos humanos ha sido establecer las características principales del conjunto, valorar las posibles patologías padecidas por los mismos y obtener el número mínimo de individuos (NMI). Para ello en primer lugar se ha procedido a analizar cada resto de forma individualizada, identificando en la medida de lo posible, el sexo y la edad según las recomendaciones de la *Paleopathology Association* (1991). Los restos óseos analizados pertenecen a varios individuos de distintas edades. La

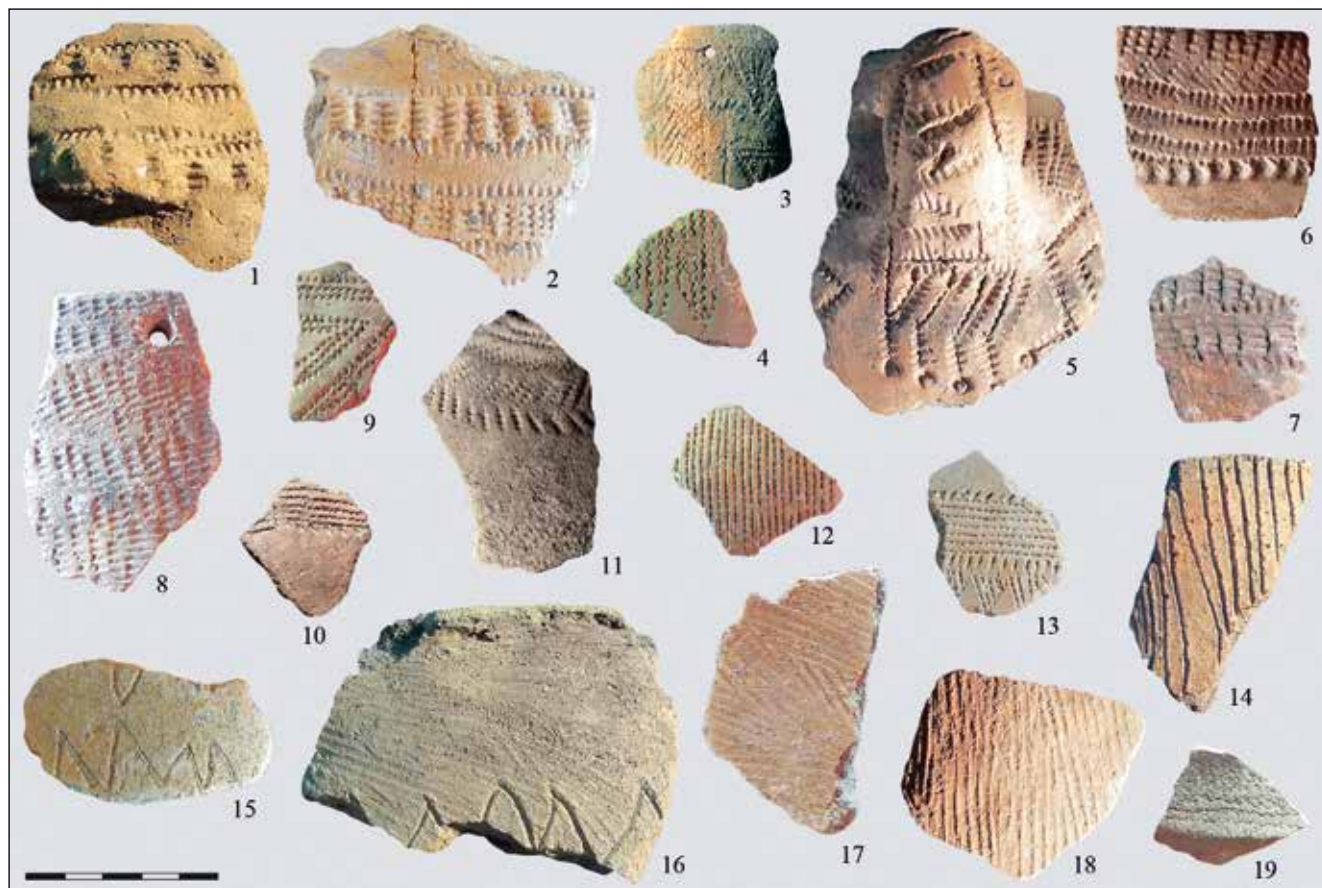


Figura 5. Selección de cerámicas decoradas de la Coveta Emparetà. Impresión cardial (1-9), impresión de gradina (10-13), incisión (14-16), peinado (16-18) y esgrafiado (19).

mayoría están fragmentados, visiblemente deteriorados por procesos tafonómicos de origen postdeposicional. Como consecuencia de ello, gran parte de las piezas presentan modificaciones y alteraciones en la superficie ósea, algunas producidas por la acción del agua (surcos y estriaciones), otras por agentes químicos (concreciones calcáreas), e incluso otras por raíces. A continuación se presenta el estudio realizado en función de los lotes diferenciados en cada museo, una vez revisados todos los materiales catalogados como procedentes de la Coveta Emparetà o de la Caseta Molina.

Museu Arqueològic Vicent Casanova de Bocairent: Excavaciones de 1970-1971

Los únicos restos humanos que presentan referencia estratigráfica fueron recuperados con motivo de las excavaciones de M.D. Asquerino entre 1970 y 1971. Concretamente aparecieron en el sondeo realizado en el Área Interior, no distinguiéndose ningún cuerpo en posición primaria. Se ha determinado que el NMI de individuos de este lote es de cinco: dos adultos y tres subadultos. De los adultos uno es, probablemente, masculino y mayor de 40 años, mientras que el otro es de sexo indeterminado y edad entre 20-40 años. Los subadultos diferenciados son: un Perinatal, un Infantil I y

un Infantil II. El estudio óseo se ha realizado agrupando los restos según los niveles diferenciados por Asquerino.

Nivel Superficial. Restos de individuos adultos:

- Fragmento de parietal de 6,5 x 4 cm. Su espesor es de 6,3 mm, con presencia de concreciones calcáreas.
- Fragmento de parietal de 6 x 3,8 cm. Su espesor es de 4,3 mm. Conserva restos de sutura sagital.
- Fragmento proximal de radio derecho de 6,5 cm. Es de aspecto grácil, ligeramente eburnado, probablemente femenino.
- Fragmento de diáfisis de un fémur robusto de un individuo adulto, probablemente masculino.
- Fragmento de parietal izquierdo de 4,5 x 5 cm. Conserva parte de la sutura sagital y coronal. Presenta concreciones calcáreas y huellas de raíces. Tiene un espesor de 6,1 mm.
- Fragmento de escápula izquierda de 7 x 3 cm con parte de la cavidad glenoidea, probablemente masculina.
- Fragmento de clavícula izquierda de 7 cm de longitud y un perímetro de 2 cm. Es de aspecto robusto, probablemente masculina.
- Fragmento de diáfisis de húmero izquierdo seccionado longitudinalmente de 7,5 cm. Está deteriorado por el

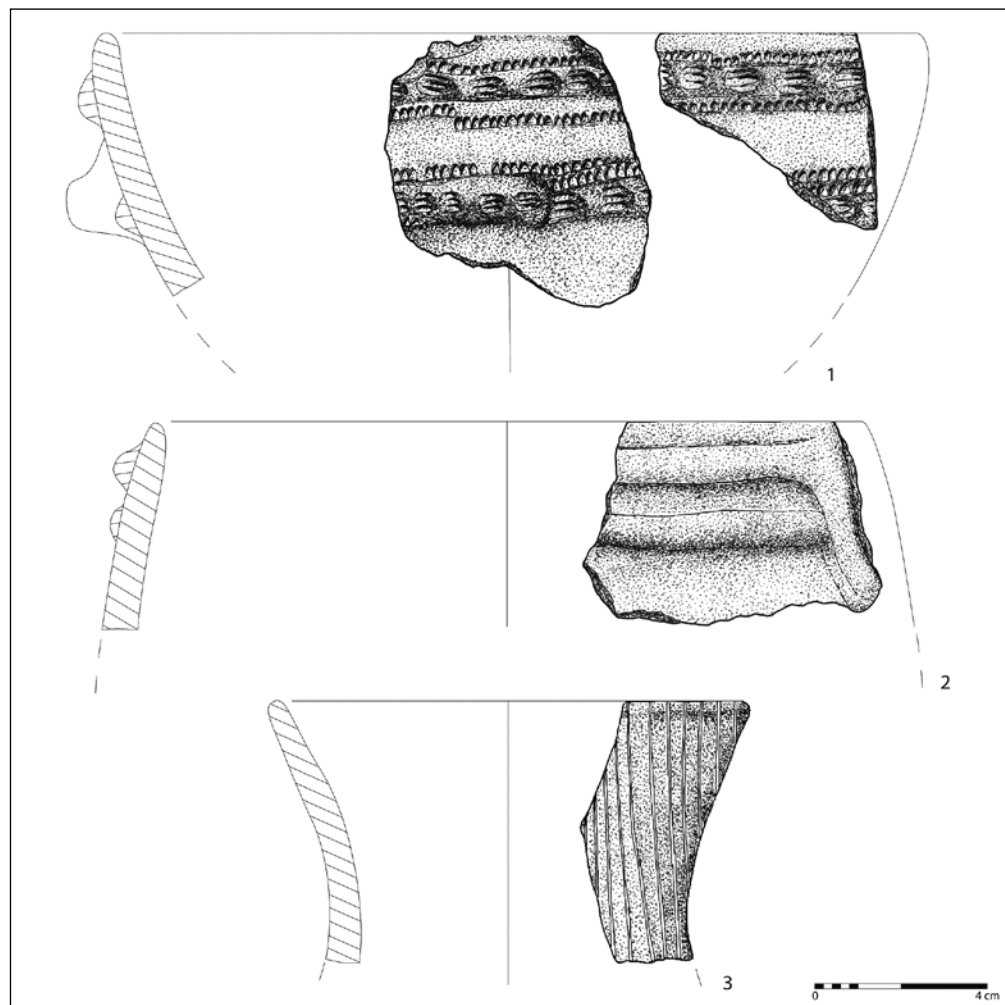


Figura 6. Selección de formas cerámicas de la Coveta Emparetà. Decoradas con impresiones cardiales (1), cordones lisos (2) e incisiones (3).

	Alcoi	Bocairent Donaciones	EXTERIOR			INTERIOR			Total
			Sup.	N. I	N. II	Sup.	N. I	N. II	
Cardial	3	2	2	5	*13	4	36	2	67
Gradina							3		3
Inciso-impresas		1		1			1		3
Impresa							2		2
Incisa		1			1	1	4		7
Esgrafiado							3		3
Impr. de esparto (peinada)				2		1			3
Cordón impreso	2					3	8		13
Cordón de mamelones				1			1		2
Cordón liso	2	1		11	2	11	22	2	51
Labio impreso			1			1	2		4
Sin decoración	5		4	**5	**2	**11	**42	Indet.	Indet.

Tabla 1. Técnicas decorativas esenciales documentadas en las cerámicas de la Coveta Emparetà. *12 de esos fragmentos pertenecen a un mismo vaso. **El número de fragmentos es mayor, pero no se especifica el total de atípicos sin decorar en la publicación de Asquerino (1975).

	Alcoi	Bocairent Donaciones	EXTERIOR			INTERIOR			Total
			Sup.	N. I	N. II	Sup.	N. I	N. II	
Percutor	1							1	
Lascas atípicas	4	1		*43	7	*18	2	*36	111
Lám. o frag de láminas		1		3		5	12	1	22
Lasca laminar sin retoque				2			9	3	14
Restos de talla					7				**105
Núcleo				1		4	1	1	7
Lasca retocada				3	2	4	7	4	20
Láminas con retoque		1		4		4	17	2	28
Lasca laminar retocada	2		1	3	1		10	5	22
Buril						1	1		2
Raspador			1				2		3
Trapezio							2		2
Foliaceo apuntado							1		1
Perforador							1		1
Total	7	3	2	59	17	36	65	52	339

Tabla 2. Restos de sílex de la Coveta Emparetà según Asquerino (1975). *Algunas de estas piezas podrían ser restos de talla. **A esta cifra llegamos tras restar el número de piezas descritas y el número total de restos líticos analizados por Asquerino.

agua. Es de aspecto robusto, probablemente masculino.

- Fragmento de diáfisis de tibia izquierda seccionada longitudinalmente de 8,5 cm. Está deteriorada por el agua y con concreciones calcáreas.
- Cinco fragmentos de costillas sin patología.
- Tres falanges del pie y un quinto metatarsiano, probablemente masculinos.
- Diecinueve piezas dentales: cinco incisivos, cuatro caninos, dos premolares con una sola raíz, cinco premolares con dos raíces, y tres molares. Nueve de ellos presentan un desgaste que va desde el grado 1 al 5 según la escala de Smith (1984). Es evidente la diferencia de tamaño entre dientes del mismo grupo dental por lo que, probablemente, algunos de ellos pertenecan a individuos masculinos y otros a femeninos.

Nivel Superficial. Restos de individuos subadultos:

- Fragmento de diáfisis de fémur de 5,5 cm de longitud. Se ha establecido una edad aproximada de tres años.
- Fragmento de hemimaxilar derecho que conserva en los alveolos dientes deciduos y gérmenes dentarios de dientes definitivos que todavía no han emergido. Los gérmenes observados son las coronas del incisivo central (11), incisivo lateral (12) y primer molar definitivos (16). El primer y el segundo molar deciduos (54-55) se hallan *in situ*, así como otro molar que se encuentra en un fragmento separado del maxilar. Correspondería a un individuo con una edad aproximada de entre dos y cuatro años (Ubelaker, 2007).
- Fragmento de parietal de 3,5 x 3 cm. Su grosor es de 3 mm.

- Fragmento proximal de húmero de 4,5 cm, de un infantil de entre seis y siete años.
- Fragmento distal de radio de 5,7 cm de un individuo infantil de entre seis y siete años.
- Diáfisis de fémur derecho de 5,5 cm de longitud y un perímetro de 21 mm en su parte central. Le falta la epífisis proximal y distal. Pertencería a un individuo perinatal (Fazekas y Kósa, 1978).
- Dos costillas de un perinatal.
- Mezclados entre los restos óseos se encontraron ocho piezas dentales: dos molares deciduos inferiores que podrían pertenecer al maxilar anteriormente citado y seis piezas definitivas más en diferentes estadios de formación (un incisivo, un canino, un premolar y tres molares). El estadio de la corona y de la raíz de los mismos nos ha permitido agruparlos en dos rangos de edad según la clasificación de Moorrees, Fanning y Hunt (Ubelaker, 2007), uno de entre dos y cuatro años, y otro de entre cinco y nueve años.

Nivel I. Restos de individuos adultos:

- Cabeza de fémur derecho de 4,1 cm de diámetro longitudinal y 4,3 cm transversal. Está ligeramente eburneada. De sexo indeterminado. Presenta deterioro por acción hídrica.
- Maxilar superior con paladar completo, espina nasal marcada y pequeña fosita prenasal. Todos los alveolos están presentes pero sólo conserva *in situ* el primer molar derecho (16) y el primer molar izquierdo (26). El resto de dientes han caído *postmortem*. La arcada alveolar es de forma parabólica y la sutura palatal es recta. El maxilar es Dolicuránico o largo (Índice de la



Figura 7. Ejemplar con periodontitis y desgaste dental recuperado en el Nivel I del sondeo interior realizado por Asquerino.

arcada alveolar: 103,6), con el paladar Leptoestafilino o estrecho (Índice del paladar: 70). El índice coronario del primer molar derecho es de 98,6 y el del primer molar izquierdo 99,2. En ambas piezas dentales se observa un desgaste de tipo vestibulo-lingual de grado 4-5 en la escala de Smith (1984).

- Maxilar superior con el paladar óseo completo. Muy deteriorado por acción hídrica. Presenta concreción calcárea. Los alveolos son observables. Conserva *in situ* en la hemiarcada derecha las raíces del primer y segundo premolar (14, 15) y del segundo molar (17). En la hemiarcada izquierda, las raíces del primer y segundo premolar (24, 25), la raíz y parte de la corona del primer molar (26) y del segundo molar (27), con un desgaste de grado 4 en la escala de Smith (1984). Los alveolos de los terceros molares también están presentes. Las raíces están muy deterioradas. El maxilar es Mesuránico o medio (Índice de la arcada alveolar: 114,1), con el paladar Leptoestafilino o estrecho (Índice del paladar: 68) de forma parabólica. Se observa periodontitis en el primer y segundo molar izquierdo (fig. 7).
- Fragmento de frontal de 9 x 8 cm que incluye el borde orbitario izquierdo y parte del derecho. La frente está incurvada y los bordes supraorbitarios son romos, el grosor óseo es de 7,1 mm. Probablemente pertenece a un individuo masculino.
- Fragmento de fémur derecho proximal de 10 cm muy robusto que comprende la cabeza y parte del cuello. El diámetro longitudinal de la cabeza es de 4,3 cm y el transversal de 4,7 cm. El ángulo de inclinación del cuello femoral es normal (125°). Tiene abundantes concreciones calcáreas. Probablemente pertenece a un individuo masculino.

- Fragmento de diáfisis de radio izquierdo de 16 cm, robusto y con concreciones calcáreas, probablemente pertenece a un individuo masculino.
- Vértebra lumbar seccionada longitudinalmente. Presenta concreciones calcáreas. Es robusta, probablemente de un individuo masculino. No presenta signos degenerativos.
- Fragmento de diáfisis de peroné izquierdo de 14 cm, de aspecto grácil.
- Fragmento de vértebra torácica. Presenta calcificación del ligamento amarillo y las carillas articulares están ligeramente eburneadas.
- Escafoides de mano derecha.
- Dos falanges de la mano.
- Tres fragmentos de costillas sin patología.
- Primer metacarpiano, probablemente de individuo masculino.

Nivel I. Restos de individuos subadultos:

- Fragmento de diáfisis de radio derecho de 7 cm de longitud al que le faltan los extremos proximal y distal, de un individuo de alrededor de seis años.
- Vértebra torácica de un individuo de alrededor de seis años.
- Fragmento de escápula derecha, con parte de la fosa glenoidea de un infantil de alrededor de seis años.
- Fragmento de diáfisis de tibia proximal partida longitudinalmente con la epífisis proximal completa. Probablemente pertenece a un individuo de alrededor de seis años.
- Clavícula izquierda a la que le faltan las epífisis distal y proximal, de un perinatal (Fazekas y Kósa, 1978).
- Fragmento de radio derecho al que le falta la epífisis proximal, de un perinatal (Scheuer y Black, 2004).
- Cuatro costillas de perinatal.

Nivel II. Restos de individuos adultos:

- Fragmento distal de peroné izquierdo de 5 cm, robusto, probablemente masculino.
- Segundo metacarpiano robusto, probablemente masculino.
- Fragmento de temporal derecho con la apófisis mastoideas robusta, probablemente de un individuo masculino.
- Cartílago tiroideo calcificado de un individuo adulto maduro, probablemente masculino.
- Dos metacarpianos, probablemente masculinos.
- Primer metatarsiano izquierdo, grácil, posiblemente femenino.
- Rótula derecha de gran tamaño, probablemente masculina.
- Dos vértebras cervicales de un individuo adulto de sexo indeterminado.
- Dos primeras falanges del pie, una con signos de artrosis en su extremo distal.
- Tres falanges de la mano.

Nivel II. Restos de individuos subadultos:

- Primera vértebra sacra. Conserva el cuerpo y el ala derecha completa. Pertenece a un infantil de alrededor de seis años.

**Museu Arqueològic Vicent Casanova de Bocairent:
Caseta Molina**

Destaca la relativa buena conservación del conjunto, así como su coloración. Algunos de ellos presentan un aspecto blanquecino, con numerosos surcos, producto de la acción del agua y de factores climáticos. Otros presentan coloración más oscura, recubiertos de una fina capa calcárea. Se han identificado restos de individuos adultos y de subadultos. El NMI determinado para este lote es de cinco: tres adultos y dos subadultos. De los adultos, dos son probablemente femeninos, de entre 20-40 años de edad, mientras que el otro adulto sería mayor de 40 años y de sexo indeterminado. Los subadultos estarían dentro de los grupos de Infantil I e Infantil II. Los restos se encuentran organizados por número de unidad estratigráfica (en adelante UE):

UE 321. Contiene restos de individuos adultos y subadultos.

Restos de individuos adultos:

- Fragmento de frontal de 8 x 7,1 cm que abarca el inicio de las órbitas y del hueso nasal. Su grosor es de 5 mm. Presenta la frente abombada, con restos calcáreos.
- Fragmento de parietal izquierdo de 12 x 8,6cm y 5 mm de grosor que conserva parte de la sutura sagital y de la lamboidea sin soldar.
- Fragmento de parietal derecho de 5 x 7,3 cm y 5 mm de grosor con parte de la sutura sagital.
- Dos fragmentos de hueso temporal. Conservan la porción petrosa y parte de la apófisis mastoides, uno derecho y otro izquierdo. Posiblemente de individuo femenino.
- Fragmento de maxilar izquierdo que conserva algunos dientes *in situ*, canino (23), primer premolar (24) y segundo premolar (25). El canino tiene un desgaste de grado 4 de la escala de Smith (1984). El primer molar del mismo lado ha caído *postmortem*.
- Fragmento de maxilar izquierdo de otro individuo adulto muy deteriorado en el que solo quedan *in situ* las raíces de los dos premolares (24-25), que están muy afectados por desgaste dental, en grado 6-7 en la escala de Smith (1984). El segundo además tiene una caries que afecta a la pulpa. El resto de dientes (5) del fragmento cayeron estando el individuo en vida, por ello los alveolos están reabsorbiéndose.
- Fragmento de la primera vértebra cervical o atlas.
- Fragmento de coxal derecho que conserva la fosa acetabular de características masculinas.
- Fragmento de escápula.

Restos de individuos subadultos:

- Fragmento de maxilar izquierdo que abarca desde

el incisivo central hasta el segundo molar. Conserva el primer molar definitivo *in situ* (26), y a través de los alveolos se observa que empieza a emerger el incisivo central y el segundo premolar definitivos. Según el esquema de Ubelaker (2007), correspondería a un individuo con una edad de entre seis y ocho años.

- Fragmento de parietal de 6,8 x 4 cm y grosor de 2 mm. Por sus características morfológicas pertenecería a otro subadulto de menor edad.
- Fragmento de temporal con el conducto auditivo completo.

UE 322. Contiene restos de individuos adultos:

- Fragmento de cráneo de 5 mm de espesor que conserva algunos huesos de la cara: parte del frontal izquierdo con la órbita, parte del hueso nasal y parte del hueso malar y maxilar del mismo lado. El maxilar conserva *in situ* el segundo molar (27), en el que se observa periodontitis y un quiste radicular. El resto de alveolos observables (3), están empezando a reabsorberse. Presenta *cribra orbitalia* y, como rasgo no métrico, tiene sutura metópica. Los bordes de la órbita son cortantes y la frente es recta.
- Fragmento de temporal derecho con apófisis mastoides de características femeninas.
- Trece fragmentos de parietal muy deteriorados por el agua, que no presentan ninguna patología.
- Clavícula izquierda de aspecto grácil, posiblemente femenina.
- Apófisis espinosa de una vértebra dorsal.
- Dos fragmentos de cresta ilíaca.

Museu Arqueològic Municipal d'Alcoi Camil Visedo Moltó

Para facilitar la identificación de los restos con las descripciones, se ha utilizado el número de inventario con el que el museo ha catalogado cada pieza. Se ha determinado que el número mínimo de individuos es de tres: dos adultos y un subadulto. De los adultos uno sería, probablemente, masculino, de entre 20-40 años, mientras que el otro es femenino, de la misma edad. El subadulto pertenecería al grupo de edad de Infantil I.

172-1. Cráneo incompleto que conserva parte inferior de las órbitas, huesos nasales, maxilar superior, parte del malar derecho y del temporal del mismo lado con la apófisis mastoides. Las suturas externas están sin fusionar con poca complicación, el grosor del temporal es de 4,5 mm.

Las órbitas son cuadrangulares, la nariz es ancha, de forma elipsoide con foseta prenasal y espina nasal mediana (grado 2), la apófisis mastoides es de tamaño intermedio, el paladar es de forma elíptica y la sutura palatina arqueada (Buisktra y Ubelaker, 1994; Ferembach *et alii*, 1986). Con los datos métricos obtenidos podemos realizar una aproximación a las características físicas que tendría en vida: la cara superior sería alta o Leptene (Índice facial superior:

66,4), las órbitas Hipsiconques o altas (Índice orbitario: 92,5) y la nariz Platirrina es decir baja y ancha (Índice nasal: 66,4). El paladar es estrecho o Leptoestafilino (Índice del paladar: 69,6).

Los alveolos de las piezas 15 (segundo premolar del lado derecho), 17 (segundo molar del mismo lado) y 27 (segundo molar del lado izquierdo) están reabsorbiéndose por la pérdida de estas piezas *antemortem*. El resto de alveolos se encuentran libres, pues la pérdida de las piezas sucedió *postmortem*.

172-2. Húmero derecho de aspecto robusto de un individuo adulto, al que le falta la epífisis proximal y distal. Tiene la inserción del musculo deltoides muy marcada. El índice diafisario es de 85,7.

172-3. Tibia derecha de aspecto robusto poco aplanada, mesocnémica (índice cnémico: 66,6), a la que le faltan las dos epífisis. Las inserciones musculares de los músculos que participan en la marcha y en el salto están muy marcadas. Esta tibia y el húmero 172-2 podrían pertenecer al mismo individuo.

172-5. Occipital al que le falta parte del borde inferior, incluidos el agujero occipital y los cóndilos. Las suturas están permeables, la convexidad es normal y la cresta nuchal es de 1 (Ferembach *et alii*, 1986; Buiskra y Ubelaker, 1994).

172-6. Fragmento de occipital con restos de sutura que por las características morfológicas podría pertenecer al cráneo incompleto 172-1.

172-7. Mandíbula casi completa, a la que le falta parte de la rama izquierda (Índice de robustez: 36,7) (Ángulo mandibular: 125°). Está deteriorada por acción hídrica. Todos los alveolos están presentes (los dientes han caído *postmortem*, por ello los alveolos están sin reabsorberse) excepto: el del segundo incisivo y el del canino derecho (42-43), el del segundo premolar izquierdo (35) y el del segundo molar izquierdo (37) que están reabsorbidos o reabsorbiéndose por la caída *antemortem* de las piezas. Los dientes que permanecen *in situ* son el primer y segundo molar derecho (46-47) y el primer molar izquierdo (36), todos ellos tienen un desgaste dental de grado 7 de la escala de Smith (1984). Otras patologías presentes en las piezas son: hipoplasia dental en el segundo molar (47), periodontitis en las tres muelas que se hallan *in situ* y dos quistes radiculares, uno en el primer molar derecho (46) y otro en el primer molar izquierdo (36), ocasionados probablemente como consecuencia del gran desgaste y periodontitis de las piezas. Es de aspecto grácil, probablemente de un individuo femenino (fig. 8).

172-4. Fragmento de parietal infantil de un individuo de entre cuatro y seis años de edad. Su grosor es de 3-4 mm. Presenta en su cara externa una osteoporosis hiperostósica (*cribra cranea*), lesión que se caracteriza por un engrosamiento del diploe a expensas de la tabla externa que se adelgaza y perfora (fig. 9). El ejemplar es conocido por haber sido estudiado y publicado con anterioridad (Campillo, 1996).



Figura 8. Ejemplar depositado en el Museu d'Alcoi (172-7) con periodontitis y quiste radicular.



Figura 9. Ejemplar depositado en el Museu d'Alcoi (172-4). Cribra cránea.

VALORACIÓN DEL CONJUNTO DE RESTOS HUMANOS

Los lotes que presentan mayor fiabilidad a la hora de afirmar que fueron recuperados en la Coveta Emparetà son dos: el depositado en Alcoi y el recuperado por Asquerino en sus intervenciones depositado en Bocairent con las siglas Coveta Emparetà. Si consideramos ambos conjuntos como uno solo, el número mínimo de individuos se sitúa en ocho, cuatro son adultos y otros cuatro subadultos. Dos adultos serían de sexo masculino, uno joven (20-40 años) y otro mayor de 40 años; otro adulto joven (20-40 años) corresponde con un individuo de sexo femenino; finalmente, un individuo joven (20-40 años) de sexo indeterminado. Los subadultos comprenderían varias franjas de edad: un Perinatal, dos Infantil I y un Infantil II (tabla 3). Se ha podido obtener la estatura de un individuo masculino basándonos en la longitud del fragmento de húmero (172-2) depositado en el mu-

	SEXO			Total
	Masculino	Femenino	Indeterminado	
Perinatal (< 1 mes)	-	-	1	1
Lactante (1 a 12 meses)	-	-	-	-
Infantil I (1 a 6 años)	-	-	2	2
Infantil II (7 a 12 años)	-	-	1	1
Juvenil (13 a 19 años)	-	-	-	-
Total subadultos	-	-	4	4
Adulto (20 a 39 años)	1	1	1	3
Adulto maduro (40-59 años)	1	-	-	1
Adulto senil (>60 años)	-	-	-	-
Total adultos	2	1	1	4

Tabla 3. Número Mínimo de Individuos de la unión de los lotes depositados en Bocairènt (únicamente los catalogados como Coveta Emparetà) y Alcoi.

seo de Alcoi y ésta sería de 167±8,5 cm, según Mendonça (1998). La mayoría de ellos superaron los primeros años de vida, periodo por otro lado crítico ya que la malnutrición y las infecciones recurrentes son frecuentes tras el destete. Es significativo que el 50% de los individuos enterrados en la cueva sean subadultos. Este hecho podría estar indicando un elevado grado de aceptación de estos individuos dentro del grupo, con unos derechos adquiridos que se manifestarían, entre otros, con el mismo rito de inhumación.

Si a este conjunto de restos se le añade el que ha aparecido en el museo de Bocairènt bajo la sigla Caseta Molina, el NMI se incrementa en 5 individuos más, tres adultos y dos subadultos. Entre los adultos, dos serían probablemente femeninos, de entre 20-40 años y el tercero mayor de 40 años, de sexo indeterminado. Los subadultos pertenecen al grupo de edad de Infantil I e Infantil II (tabla 4).

El número de piezas y fragmentos óseos conservados y estudiados es de 105 y el total de dientes es de 52. Entre unas piezas y otras, debido a su mayor resistencia y por tanto menor deterioro frente a fenómenos tafonómicos, los dientes se han conservado mejor y es donde se han observado más tipos de patología. De las 52 piezas dentales, únicamente 25 se hallaron *in situ*, las otras 27 estaban aisladas. El 90,4% (47 dientes) son definitivos y el restante 9,6% (5 dientes) deciduos. La patología se ha observado solo en los dientes de los individuos adultos, en los de los subadultos no se evidencia ningún tipo de enfermedad. El estado dentario de los lotes de Alcoi y Asquerino es aceptable, la mayoría de los dientes caídos ha sido *postmortem*, solo unos pocos

	SEXO			Total
	Masculino	Femenino	Indeterminado	
Perinatal (< 1 mes)	-	-	-	-
Lactante (1 a 12 meses)	-	-	-	-
Infantil I (1 a 6 años)	-	-	1	1
Infantil II (7 a 12 años)	-	-	1	1
Juvenil (13 a 19 años)	-	-	-	-
Total subadultos	-	-	2	2
Adulto (20 a 39 años)	-	2	-	3
Adulto maduro (40-59 años)	-	-	1	1
Adulto senil (>60 años)	-	-	-	-
Total adultos	-	2	1	3

Tabla 4. Número Mínimo de Individuos del lote depositado en Bocairènt catalogado como Caseta Molina.

Lote	Alveolos observados		Alveolos reabsorbidos	
	N	%	N	%
C. Emparetà M. Alcoi	31	39,7	7	46,7
C. Emparetà M. Bocairènt	32	41	-	-
Caseta Molina M. Bocairènt	15	19,2	8	53,3
Total	78	100	15	100

Tabla 5. Incidencia de alveolos observados y dientes caídos *antemortem* de los individuos adultos.

cayeron en vida (tabla 5). No sucede lo mismo con el lote de Caseta Molina donde la pérdida *antemortem* alcanza al 53,3% de las piezas. Estas pérdidas podrían estar provocadas por cualquier tipo de patología dental como caries, desgaste, periodontitis o traumatismos. El desgaste dental en distintos grados (tabla 6), es la patología de mayor incidencia en los tres lotes, siguiéndole en orden decreciente la periodontitis, los quistes radiculares y una caries solo en el lote de Caseta Molina. El tipo de desgaste observado puede estar relacionado con una mala higiene bucodental y por el consumo de una dieta abrasiva debida a su composición y/o a los materiales empleados en la elaboración de la misma. La caries y demás patologías se pueden asociar al consumo

Lote	Dientes conservados	Desgaste	Periodontitis	Quiste radicular	Hipoplasia	Raíces	Caries
	N (%)	N (%)	N (%)	N (%)	N (%)	N (%)	N (%)
C. Emparetà M. Alcoi	3 (8,1)	3 (16,7)	3 (50)	2 (66,6)	1 (100)	–	–
C. Emparetà M. Bocairent	28 (75,7)	12 (66,7)	2 (33,3)	–	–	6 (75)	–
Caseta Molina M. Bocairent	6 (16,2)	3 (16,7)	1 (16,6)	1 (33,3)	–	2 (25)	1 (100)
Total	37	18	6	3	1	8	1

Tabla 6. Incidencia de patología dental observada en dientes de individuos adultos de las tres colecciones.

de hidratos de carbono (Langsjoen, 1998; Chimenos *et alii*, 1999; Campillo, 2001).

Se han documentado dos individuos con patología metabólica. Uno infantil con una osteoporosis hiperostósica (*cribra cranea*) cuya etiología más frecuente es un tipo de anemia (la *B*-talasemia), aunque también puede producirla distintos tipos de avitaminosis, inflamaciones inespecíficas, procesos tóxicos u otros factores (Campillo, 1996 y 2001). Otro individuo, de sexo femenino, con *cribra orbitalia*, alteración presente hoy en día en los individuos con carencias de hierro cuya etiología como en el caso anterior es muy variada. Apenas se han observado signos de artrosis en las pocas articulaciones conservadas.

colágeno se envió entonces a la Klaus-Tschira-AMS Facility del Curt-Engelhorn-Zentrum (Mannheim, Alemania), donde fueron grafitados y datados por AMS (Kromer *et alii*, 2013). Los indicadores de calidad del colágeno muestran valores aceptables según los criterios descritos por Ambrose (1990) y Van Klinken (1999).

Los resultados de las dataciones se presentan en una tabla (tabla 7) en las que aparecen junto con el ratio C:N, %C, %N y rendimiento del colágeno, sus rangos de calibración a uno y dos sigmas a partir del programa OxCal 4.2.3. (Bronk Ramsey y Lee, 2013) utilizando la curva IntCal 13 (Reimer *et alii*, 2013), y la máxima probabilidad obtenida por el programa CalPal online (Danzeglocke *et alii*, 2012).

DATAIONES RADIOCARBÓNICAS

El criterio principal seguido a la hora de seleccionar las muestras a fechar ha sido el de obtener una visión cronológica representativa del conjunto, minimizando la afección sobre la colección, primando la selección de huesos determinantes en el establecimiento del NMI y descartándose los aparecidos bajo la sigla Caseta Molina depositados en Bocairent. La primera de las muestras fue tomada del cráneo identificado con número de registro 172-1. La segunda del occipital casi completo con número de registro 172-5.

Las muestras se prepararon directamente en el Department of Human Evolution del Max-Planck Institute for Evolutionary Anthropology (MPI-EVA) (Leipzig, Alemania). Para la extracción del colágeno se utilizó el protocolo descrito por Talamo y Richards (2011). Entre 3 y 5 mg de

CONSIDERACIONES FINALES

Del estudio de las colecciones de huesos humanos analizadas se concluye que los restos depositados en el Museu Arqueològic de Bocairent Vicent Casanova catalogados como Caseta Molina no fueron recuperados en el interior de la Coveta Emparetà. La tafonomía de los restos de este lote es notoriamente diferente a la de los otros. Además son restos que poseen un etiquetado que hace referencia a unidades estratigráficas, método de excavación no utilizado en la cueva ni durante las intervenciones de Asquerino, ni en ninguna otra de la que se tenga constancia. La ausencia de restos arqueológicos asociados a este lote, más allá de los propios huesos humanos, tampoco parece corresponderse con lo que se ha documentado en la cavidad, donde aparecen siempre acompañados de materiales arqueológicos

N. Inventario	C:N	% col.	%C	%N	Código	¹⁴ C años BP	1sigma cal BC	2sigmas cal BC	Media Cal BC
Alcoi 172-1	3,2	11,9	44,6	16,2	MAMS-18664	3366±18	1685-1635	1734-1615	1663±24
Alcoi 172-5	3,3	6,4	44,5	15,9	MAMs-18663	3204±17	1494-1452	1504-1433	1474±20

Tabla 7. Dataciones radiocarbónicas. Se presenta los indicadores de calidad del colágeno (%C, %N, C:N, rendimiento colágeno) junto a las calibraciones a 1σ y 2σ utilizando el programa OxCal 4.2.3. (Bronk Ramsey y Lee, 2013) con la curva de calibración IntCal13 (Reimer *et alii*, 2013), y la máxima probabilidad calculada por CalPal (Danzeglocke *et alii*, 2012).

prehistóricos. Cabe suponer que se trata de restos recuperados en las inmediaciones de la caseta epónima, como consecuencia de alguna excavación de urgencia de la que no tenemos constancia y cuyos materiales acabaron integrados en la colección museográfica de Bocairent.

Por tanto, el número mínimo de individuos que se deriva del estudio conjunto de los lotes de Alcoi y Bocairent (excavaciones de Asquerino en la Coveta Emparetà) es de ocho, cuatro adultos y otros cuatro subadultos. La edad de los mismos comprende todos los periodos de la vida, desde el nacimiento hasta la senectud. Entre los adultos, dos masculinos, uno femenino y otro de sexo indeterminado. Del conjunto de individuos adultos enterrados se deduce una baja esperanza de vida ya que tres individuos (75%) son adultos jóvenes y solo uno superó los 40 años. Ninguno de los subadultos llegó a la adolescencia, dos llegaron a la etapa crítica tras el destete y uno la superó. Las características de la muestra y su escaso número no permiten un detallado estudio que valore el estado de salud-enfermedad de los individuos enterrados. La patología observada está probablemente relacionada con el tipo de dieta consumida y con el procesado de la misma, así como con ciertos estados carenciales debidos al tipo de alimentación y/o procesos infecciosos.

La secuencia de ocupaciones de la Coveta Emparetà se inicia en el Neolítico antiguo, momento que queda atestiguado por la presencia de cerámicas cardiales y de un buen número de restos de sílex de este periodo. Las ocupaciones neolíticas continuarían en el Epicardial, constatándose también la presencia de cerámicas esgrafiadas y peinadas del Neolítico medio. La identificación de un ritual funerario durante el Neolítico antiguo caracterizado por la deposición de un número limitado de inhumaciones en cuevas de diferente tamaño, ubicadas dentro de las diferentes “comunidades neolíticas” (García Borja *et alii*, 2016) no permite descartar que alguna inhumación de la Coveta Emparetà pertenezca a momentos del Neolítico antiguo cardial, incluso del Neolítico medio, si consideramos otros escenarios como el que se propone para la Cova de Sant Martí (Agost, Alacant) (Torregrosa *et alii*, 2004). Tampoco es posible descartar completamente su uso funerario en el Neolítico final y el Calcolítico, pues son varios los ejemplos de cuevas con inhumaciones calcolíticas que se siguen utilizando en la Edad del Bronce, algunos con dataciones radiocarbónicas sobre huesos humanos (McClure *et alii*, 2011; García Borja *et alii*, 2011, 2012 y 2013; Soler, 2012). A pesar de todo esto, los resultados de las dataciones y la ausencia en la Coveta Emparetà de las piezas típicas que componen el ajuar que acompaña a las inhumaciones en estos momentos (Soler, 2002) como grandes láminas o puntas de flecha de sílex, incluso cerámicas campaniformes para momentos más avanzados, nos llevan a proponer una cronología de la Edad del Bronce a la mayor parte, o la totalidad, del conjunto de restos localizados en la parte interna de la cavidad.

Los resultados de las dataciones radiocarbónicas dificultan mantener cualquier hipótesis que relacione la Coveta Emparetà con una necrópolis del Neolítico antiguo, Neolítico

medio, Neolítico final o Calcolítico. Las dos muestras seleccionadas se encuadran en el II milenio a.C. Uno de los individuos fechados ha ofrecido un resultado de los momentos plenos de la Edad del Bronce, mientras que el otro resultado se relaciona con momentos algo más avanzados de esta misma época o de inicios del Bronce tardío. En el entorno de la Coveta Emparetà se ha localizado un buen número de poblados de la Edad del Bronce (Pascual Beneito, 1993; Ribera y Pascual Beneito, 1994 y 1997; Ribera *et alii*, 2011-2012; Hernández y Mataix, 2016), que demuestran la intensa ocupación de la Valleta d'Agres y zonas inmediatas a lo largo del II milenio a.C. (fig. 10), momento en el que la cavidad es utilizada como lugar en el que realizar inhumaciones.

La utilización de la Coveta Emparetà como espacio en el que se depositan varios cadáveres en su parte más profunda queda, por tanto, vinculada al Bronce Valenciano caracterizado por Tarradell en los años 60 (Tarradell, 1963 y 1969). La descripción de las costumbres funerarias que el autor realiza, han sufrido ciertas modificaciones tras las recientes revisiones de los contextos de aparición de un mayor número de restos humanos del Bronce Valenciano, demostrándose más variedad de la definida en primera instancia, así como ejemplos de cuevas con más de dos inhumaciones (De Pedro, 2010). En la actualidad, tanto al norte como al sur del río Vinalopó se evidencia la coexistencia de enterramientos individuales en fosas que se ubican en los mismos poblados, con inhumaciones individuales, dobles o múltiples en abrigos, grietas y cuevas de diferente tamaño próximas a los poblados (Jover y López Padilla, 1997).

La diversidad en la elección de lugares de inhumación, unida a la escasez de objetos de valor entre los ajuares, se interpretaba como la inexistencia de un verdadero ritual propio del Bronce Valenciano, que no ofrecía evidencias de la existencia de una jerarquización social, más bien de unas sociedades segmentarias fijadas a un territorio concreto (De Pedro, 2010). La revisión de los materiales procedentes de cuevas de tamaño medio y pequeño en las que existen restos humanos de la Edad del Bronce los de la Coveta Emparetà, refleja ciertas similitudes (Hernández *et alii*, 2015) que deberán ser valoradas y comparadas de forma detallada en el futuro. Entre ellas destaca: la preferencia por cuevas separadas de los poblados para la deposición de varios cuerpos cuyo número supera los 4 individuos; variedad en el rango de edad de los inhumados, con notable presencia de infantiles, que comparten espacio con adultos (De Miguel, 2010); escasez de ajuar, formado generalmente por cerámicas sin decorar, restos de ovicaprinos y, en alguna ocasión, adornos metálicos; reutilización de un mismo espacio en diferentes momentos; deposición de los cuerpos en la superficie de las cuevas, sin realización de fosas o de estructuras diferenciadas, cuestión esta última que deberá ser confirmada en nuevas intervenciones arqueológicas y que explicaría la escasez de hallazgos *in situ*. Es una problemática que merece un estudio más detallado del que presentamos, que sobrepasa los objetivos planteados, pero que incide en la existencia de un

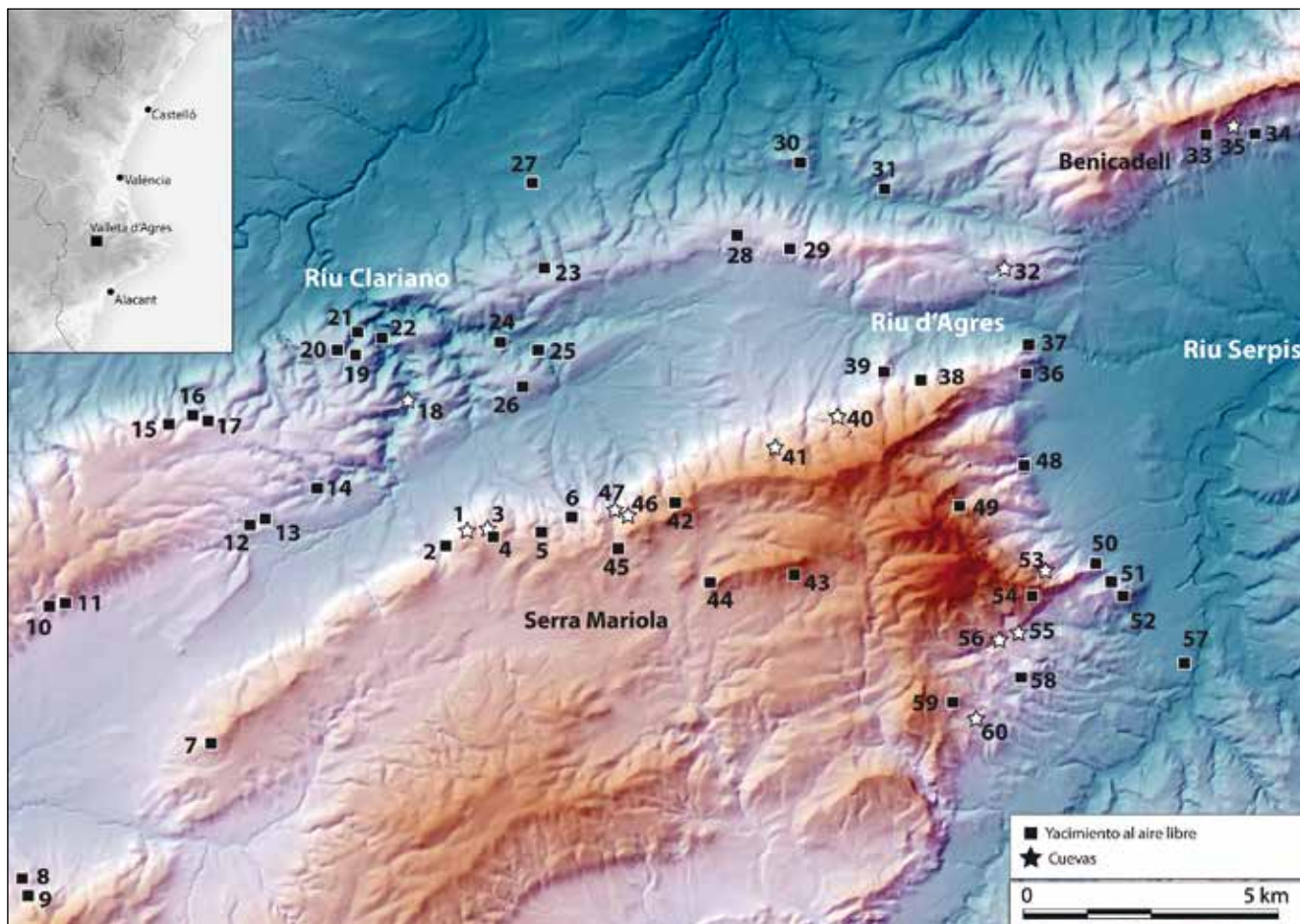


Figura 10. Yacimientos de la Edad del Bronce conocidos en el entorno de la Coveta Emparetà (a partir de Pascual Beneito, 1991; Ribera y Pascual Beneito, 1994; Ribera et alii, 2012; Hernández i Mataix, 2016): 1: Coveta Emparetà. 2: Teular de Sant Jaume. 3: Cova de la Sarsa. 4: Teular del Sapo. 5: Cabeço de Montserrat. 6: Cabeço Serrelles. 7: Alt de la Creueta. 8: L'Hedra. 9: La Fontanella. 10-11: La Banyesa A i B. 12-13: Barranc de la Frontera A i B. 14: Paixarella. 15: Cals Freres. 16-17: Barranc de la Volta I i II. 18: Cova de l'Olivaret. 19: Alt dels tarongers. 20: Turó de la Polvora. 21: Tossal del Pou Clar. 22: Cagalló del Gegant. 23: Penya Alta. 24: Bancal Redó II. 25: Bancal Redó I. 26: Penya del Toll Negre. 27: Molló. 28: Tossal de la Mitja Lluna. 29: Puntal de la Rabosa. 30: Castell Vell. 31: Tossal de Roda. 32: Cova Beneito. 33: El Sercat. 34: Bancal sota Coves del Rellotge. 35: Cova Negra de Gaianes. 36: Racó del Grenyó. 37: Frare d'Agres. 38: Pic de l'Aguila. 39: Mola d'Agres. 40: Cova dels Pilars. 41: Cova del Moro. 42: Portell. 43: Alt de les Carrasques. 44: Alt de Mariola. 45: Cabeçó de Mariola. 46: Cova del Regall. 47: Cova Bolumini. 48: Penyó de l'Escrupènia. 49: Balconada de Llopis. 50: Abric del Buf. 51: Ombria de Sant Cristòfol. 52: Sant Cristòfol. 53: Cova de la Penya Banyada. 54: Pic Negre. 55: Cova dels Coloms. 56: Els Forats. 57: El Planet. 58: Mastec. 59: Piquet del Baladre. 60: Cova del Piquet de Baladre.

buen número de similitudes en las costumbres funerarias del Bronce Valenciano y el denominado Bronce del Vinalopó, difuminándose las características del primero a medida que nos acercamos a la cuenca del río Segura. Para comprender la naturaleza de esta diversidad en la elección del lugar de enterramiento y aproximarnos a la definición de los rituales, o ritual, funerarios durante la Edad del Bronce en las diferentes regiones del País Valenciano, se hace necesaria la revisión de más contextos funerarios, especialmente en cuevas con restos de la Edad del Bronce, que incluyan dataciones radiocarbónicas.

En conclusión, la constatación de la deposición de varios cuerpos de diferente sexo y edad en la Coveta Emparetà

vinculados a la Edad del Bronce es la aportación más significativa del trabajo presentado. Éstos se localizaron en la parte más profunda de la cavidad, sin haberse documentado piezas llamativas que pudieran pertenecer a un rico ajuar, quizás formado por algunos de los vasos cerámicos sin decorar recuperados en este punto de la cueva y algunos restos de fauna (Asquerino, 1975: fig. 16).

AGRADECIMIENTOS

A Mari Paz de Miguel y María Jesus de Pedro por su ayuda en la selección de las muestras datadas, comentarios

y correcciones. A Lysanne Raedisch, Sahra Talamo, Michael P. Richards y Jean-Jacques Hublin por su apoyo. A la Direcció General de Cultura de la Generalitat Valenciana, al Museu Arqueològic Municipal “Camil Visedo Moltó” de Alcoi y al Ajuntament de Bocairent, por las facilidades prestadas.

BIBLIOGRAFÍA

- AMBROSE, S.H. (1990). Preparation and Characterization of Bone and Tooth Collagen for Isotopic Analysis. *Journal of Archaeological Science*, 17: 431-51.
- ASQUERINO FERNÁNDEZ, M.D. (1975). Coveta Emparetà. *Noticariu Arqueològic Hispànic*, 3: 109-188.
- BALLESTER TORMO, I. (1928). Unas cerámicas interesantes en el valle de Albaida. *Cultura Valenciana Fascículos III y IV*. Valencia.
- BERNABEU AUBAN, J.; MOLINA BALAGUER, LL.; GARCÍA PUCHOL, O. (2001). El mundo funerario en el horizonte cardial valenciano. Un registro oculto. *SAGVNTVM-PLAV*, 33: 27-36.
- BRONK RAMSEY, C.; LEE, S. (2013). Recent and Planned Developments of the Program OxCal. *Radiocarbon*, 55 (2-3): 720-30.
- BUIKTRA, J.E.; UBELAKER, D.H. (1994). *Standards for data collection from human skeletal remains*. Arkansas Archaeological Survey Research, 44.
- CAMPILLO, D. (1996). Troballes paleopatològiques en jaciments prehistòrics de les comarques centrals valencianes. *Recerques del museu d'Alcoi*, V: 53-65.
- CAMPILLO, D. (2001). *Introducción a la Paleopatología*. Bellaterra. Barcelona.
- CHIMENOS, E.; SAFONT, S.; ALESAN, A.; ALFONSO, J.; MALGOSA, A. (1999). *Propuesta de protocolo de valoración de parámetros en Paleodontología*. Gaceta dental, 102.
- DANZEGLOCKE, U.; JÖRIS, O.; WENINGER, B. (2012). *CalPal-2007online*. <http://www.calpal-online.de/>. Acceso en junio de 2014.
- DE MIGUEL IBÁÑEZ, M.P. (2010). La infancia a través del estudio de los restos humanos desde el Neolítico a la Edad del Bronce en tierras valencianas. En A. Pérez y B. Soler (coord.). *Restos de Vida y Muerte*. Diputació de València, pp. 155-166.
- DE PEDRO MICHÓ M.J. (2010). Cuevas, fosas y cistas. Evidencias funerarias del II milenio a.C. en tierras valencianas. En torno al argar y el Bronce Valenciano. En A. Pérez y B. Soler (coord.). *Restos de Vida y Muerte*. Diputació de València, pp. 55-70.
- FAZEKAS, I.; KOSA, F. (1978). *Forensic Fetal Osteology*, Akadémiai Kiadó. Budapest.
- FEREMBACH, D.; SUSANNE, CH.; CHAMLA, M.C. (1986). *Manuel d'anthropologie physique*. CNRS. Paris.
- GARCÍA BORJA, P.; SALAZAR GARCÍA, D.C.; PÉREZ FERNÁNDEZ, A.; PARDO GORDÓ, S.; CASANOVA VAÑÓ, V. (2011). El Neolítico antiguo cardial y la Cova de la Sarsa (Bocairent, València). Nuevas perspectivas a partir de su registro funerario. *Munibe. Arqueología Antropología* 62: 175-195.
- GARCÍA BORJA, P.; SALAZAR GARCÍA, D.; MARTINS, H.; PÉREZ JORDÀ, G.; SANCHIS SERRA, A. (2012). Dataciones radiocarbónicas de la Cova de la Sarsa (Bocairent, València). *Recerques del Museu d'Alcoi* 22: 19-24.
- GARCÍA BORJA, P.; PÉREZ FERNÁNDEZ, A.; BIOSCA CIRUJEDA, V., RIBERA i GOMES, A.; SALAZAR GARCÍA, D.C. (2013). Los restos humanos de la Coveta del Frare (La Font de la Figuera, València). En P. García Borja, E. Revert Francés, A. Ribera i Gomes y V. Biosca Cirujeda (eds.). *El Naiximent d'un Poble. Història i Arqueologia de la Font de la Figuera*. Ajuntament de la Font de la Figuera, pp. 47-59.
- GARCÍA BORJA, P.; SALAZAR GARCÍA, D.; AURA TORTOSA, E.; CORTELL PÉREZ, E.; VELASCO BERZOSA, A. (2016). El registro funerario cardial valenciano: dataciones radiocarbónicas. *Del neolític a l'edat del bronze en el Mediterrani occidental. Estudis en Homenatge a Bernat Martí Oliver*. Serie de Trabajos Varios del SIP 119. Valencia, pp. 185-199.
- HERNÁNDEZ PÉREZ, M.S.; MATAIX ALBIÑANA, J.J.; FERRER MARSET, P. (2015). Reflexiones en torno a los enterramientos de la Edad del Bronce en las tierras valencianas. A propósito de la Cova de l'Esbarzer (la Vall de la Gallinera, Alacant). *Alberri*, 25: 93-110.
- HERNÁNDEZ PÉREZ, M.S.; MATAIX ALBIÑANA, J.J. (2016). Sobre poblados en altura y cuevas: la Edad del Bronce en las tierras del Comtat. *Concentaina. Arqueología y Museos*. MARQ-Museo Arqueológico de Alicante, pp. 96-107.
- JOVER MAESTRE, F.J.; LÓPEZ PADILLA, J.A. (1997). *Arqueología de la muerte. Prácticas funerarias en los límites del Argar*. Publicaciones de la Universidad de Alicante.
- KROMER, B.; LINDAUER, S.; SYNAL, H.A.; WACKER, L. (2013). “MAMS-A new AMS facility at the Curt-Engelhorn-Centre for Achaemetry, Mannheim, Germany”. *Nuclear Instruments and Methods in Physics Research Section B: Beam Interactions with Materials and Atoms*, 294 (0): 11-13.
- LANGSJOEN, O.M. (1998). Diseases of the dentition, en AUFDERHEIDE, A. y RODRIGUEZ-MARTÍN, C. *The Cambridge Encyclopedia of human paleopathology*. Cambridge University Press, Cambridge.
- McCLURE, S.; GARCÍA PUCHOL, O.; ROCA, C.; CULLETON, B.; KENNETT, D. (2011). Osteological and paleodietary investigation of burials from Cova la Pastora, Alicante, Spain. *Journal of Archaeological Science* 38: 420-428.
- MENDONÇA, C. (1998). *Contribución para la identificación humana a partir del estudio de las estructuras óseas. Determinación de la talla a través de la longitud de los huesos largos*. Tesis Doctoral. Universidad Complutense de Madrid.
- PALEOPATHOLOGY ASSOCIATION (1991). *Recomendaciones del comité para la base de datos de restos óseos*. Versión traducida y editada por la Asociación Española de Paleopatología, Madrid.

- PASCUAL BENITO J. (1993). Les Capçaleres dels rius Clariano i Vinalopó del Neolític a l'Edat del Bronze. *Recerques del Museu d'Alcoi* 2: 109-139.
- REIMER, P.J.; BARD, E.; BAYLISS, A.; BECK, J.W.; BLACKWELL, P.G.; BRÖNK-RAMSEY, C.; GROOTES, P.M.; GUILDERSON, T.P.; HAFLIDASON, H.; HAJDAS, I.; HATTÉ, C.; HEATON, T.J.; HOFFMANN, D.L.; HOGG, A.G.; HUGHEN, K.A.; KAISER, K.F.; KROMER, B.; MANNING, S.W.; NIU, M.; REIMER, R.W.; RICHARDS, D.A.; SCOTT, E.M.; SOUTHON, J.R.; STAFF, R.A.; TURNEY, C.S.M.; VAN DER PLICHT, J. (2013). IntCal13 and Marine13 Radiocarbon Age Calibration Curves 0–50,000 Years cal BP. *Radiocarbon*, 55 (4): 1869-1887.
- RIBERA i GOMES, A.; PASCUAL BENITO, J. (1994). Els poblats de l'edat del Bronze d'Ontinyent i la Vall d'Albaida Occidental (I). *Alba*, 9: 13-5.
- RIBERA i GOMES, A.; PASCUAL BENITO J. (1997). Els poblats de l'edat del Bronze d'Ontinyent i la Vall d'Albaida Occidental (III). Anàlisi i consideracions. *Alba*, 12: 25-78.
- RIBERA i GOMES, A.; PASCUAL BENITO J.; SÀNCHESSERRA, A. (2011-2012). La Cova de l'Olivaret. Nou jaciment del Neolític antic. *Alba*, 22-23: 110-123.
- SCHEUER, L. y BLACK, S. (2004). *The Juvenile Skeleton*. Elsevier Academic Press.
- SMITH B.H. (1984). Patterns of molar wear in hunter-gatherers and agriculturalist. *American Journal of Physical Anthropology*, 69: 39-56.
- SAN VALERO APARISI, J. (1942). Notas para el estudio de la cerámica cardial de la Cueva de la Sarsa". *Actas y Memorias de la Sociedad Española de Antropología, Etnografía y Prehistoria*, XVII: 87-146.
- SOLER DÍAZ, J. (2002). *Cuevas de inhumación múltiple en la Comunidad Valenciana*. Real academia de la Historia-Diputación d'Alacant. Madrid-Alacant.
- SOLER DÍAZ, J. (2012). *Cova d'En Pardo. Arqueología en la memoria*. Fundación CV MARQ y Ajuntament d'Alcoi.
- TARRADELL, M. (1963). *El País Valenciano del Neolítico a la Iberización. Ensayo de síntesis*. Anales de la Universidad de Valencia XXXVI. València.
- TARRADELL, M. (1969). La Cultura del Bronce Valenciano. Nuevo ensayo de aproximación. *Papeles del laboratorio de Arqueología de Valencia*, 6: 7-30.
- TORREGROSA JIMÉNEZ, P.; LÓPEZ SEGUÍ, E. (2004). *La Cova de Sant Martí (Agost, Alicante)*. Serie Memorias de Excavaciones Arqueológicas 3. Museo de Arqueología de Alicante.
- TALAMO, S.; RICHARDS, M. (2011). A comparison of bone pretreatment methods for AMS dating of samples >30, 000 BP. *Radiocarbon*, 53 (3): 443-9.
- UBELAKER, D.H. (2007). *Enterramientos humanos, excavación, análisis, interpretación*. Sociedad de Ciencias Aranzadi, Donostia.
- VAN KLINKEN, G.J. (1999). Bone Collagen Quality Indicators for Palaeodietary and Radiocarbon Measurements. *Journal of Archaeological Science*, 26: 687-695.
- VISEDO MOLTÓ, C. (1925). Breu notícia de les primeres edats del metal a les proximitats d'Alcoi. *B.A.C.A.E.P.* III (2): 173-176.